



METODI MATEMATICI AVANZATI

Corso di 6 Crediti
Corso di Laurea Specialistica in Fisica
A.A. 2008-2009

Cornelis VAN DER MEE

Dipartimento di Matematica e Informatica
Università di Cagliari

Viale Merello 92, 09123 Cagliari

070-6755605 (studio), 070-6755601 (FAX), 335-5287988 (cell.)

cornelis@krein.unica.it

<http://bugs.unica.it/~cornelis>

oppure: <http://krein.unica.it/~cornelis>

L'altra condizione $u(L) = 0$ conduce alla condizione

$$\cos(kL) = 0 \Leftrightarrow kL = \left(n - \frac{1}{2}\right) \pi, \quad n = 1, 2, 3, \dots$$

Quindi gli autovalori $\lambda_n = k_n^2 = \left((n - \frac{1}{2})\pi/L\right)^2$ e le autofunzioni $\varphi_n(x) \sim \cos\left((n - \frac{1}{2})\pi x/L\right)$ per $n = 1, 2, 3, \dots$. Ortonormalizzando le autofunzioni in $L^2(0, L)$ otteniamo

$$\lambda_n = \left(\frac{(n - \frac{1}{2})\pi}{L}\right)^2, \quad \varphi_n(x) = \sqrt{\frac{2}{L}} \cos\left(\frac{(n - \frac{1}{2})\pi x}{L}\right), \quad (\text{I.21})$$

dove $n = 1, 2, 3, \dots$. Le autofunzioni formano una base ortonormale di $L^2(0, L)$.

e. Condizioni periodiche. Le soluzioni non banali sono quelle periodiche. Dunque abbiamo la base ortonormale di autofunzioni (con corrispondenti autovalori)

$$\begin{cases} \varphi_0(x) = \frac{1}{\sqrt{L}}, & \lambda_0 = 0, \\ \varphi_n^c(x) = \sqrt{\frac{2}{L}} \cos\left(\frac{2n\pi x}{L}\right), & \lambda_n = \left(\frac{2n\pi}{L}\right)^2, \\ \varphi_n^s(x) = \sqrt{\frac{2}{L}} \sin\left(\frac{2n\pi x}{L}\right), & \lambda_n = \left(\frac{2n\pi}{L}\right)^2, \end{cases} \quad (\text{I.22})$$

dove $n = 1, 2, 3, \dots$. Quindi l'autovalore zero è semplice mentre gli altri autovalori hanno molteplicità 2.

f. Condizione di Dirichlet in $x = 0$ e mista in $x = L$. Per trovare una soluzione non banale del problema al contorno supponiamo che $k \geq 0$. Utilizzando la condizione $u(0) = 0$ si ottiene

$$u(x) \sim \sin(kx).$$

L'altra condizione $(\cos \alpha)u(L) + (\sin \alpha)u'(L) = 0$ conduce alla condizione

$$\cos \alpha \sin(kL) + k \sin \alpha \cos(kL) = 0, \quad n = 1, 2, 3, \dots$$

Escludendo i casi già trattati, cioè $\alpha = 0$ [Dirichlet] e $\alpha = (\pi/2)$ [Dirichlet in $x = 0$ e Neumann in $x = L$], risultano $k > 0$, $\sin(kL) = 0$ e $\cos(kL) \neq 0$. Arriviamo all'equazione trascendentale

$$\tan(kL) = -k \tan \alpha, \quad (\text{I.23})$$

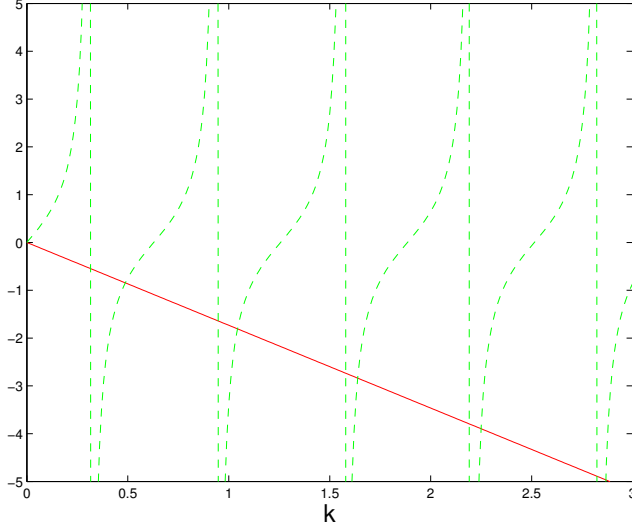


Figura I.1: Il plot contiene i grafici delle funzioni $y = \tan(xL)$ e $y = -k \tan \alpha$ per $L = 5$ e $\alpha = \frac{\pi}{3}$. Gli autovalori sono i valori di $k > 0$ corrispondenti ai loro punti di intersezione.

dove $\tan \alpha > 0$. Cercando i punti di intersezione positivi tra il grafico della funzione $k \mapsto \tan(kL)$ e la retta $k \mapsto -k \tan \alpha$ con coefficiente angolare negativo, troviamo una successione infinita di autovalori $\lambda_n = k_n^2$ ($n = 1, 2, 3, \dots$). Le corrispondenti autofunzioni si possono normalizzare in $L^2(0, L)$, risultando in una base ortonormale di $L^2(0, L)$.

g. Condizioni Miste Diverse. Ci limitiamo al caso in cui $\alpha, \beta \in (0, \frac{\pi}{2})$. In tal caso la soluzione

$$u(x) \sim c_1 \cos(kx) + c_2 \frac{\sin(kx)}{k}$$

per le opportune costanti c_1, c_2 e per $k > 0$ soddisfa alle due condizioni

$$c_1 \cos \beta - c_2 \sin \beta = 0, \tag{I.24}$$

$$c_1 [\cos \alpha \cos(kL) - k \sin \alpha \sin(kL)] + c_2 \left[\cos \alpha \frac{\sin(kL)}{k} + \sin \alpha \cos(kL) \right] = 0. \tag{I.25}$$

L'esistenza di una soluzione non banale conduce alla condizione

$$\begin{aligned} & \cos \beta \left[\cos \alpha \frac{\sin(kL)}{k} + \sin \alpha \cos(kL) \right] \\ & + \sin \beta [\cos \alpha \cos(kL) - k \sin \alpha \sin(kL)] = 0, \end{aligned}$$

e dunque [vedi la (A.10) nell'Appendice A]

$$\begin{aligned} W[J_\nu, J_{-\nu}](x) &= \frac{-2\nu}{x\Gamma(\nu+1)\Gamma(-\nu+1)} + \underbrace{O(x)}_{=0} \\ &= \frac{-2\nu}{x\Gamma(\nu+1)\Gamma(-\nu+1)} = \frac{-2 \sin(\nu\pi)}{\pi x}. \end{aligned}$$

Quindi $J_\nu(x)$ e $J_{-\nu}(x)$ sono linearmente indipendenti [cioè, il Wronskiano non si annulla per $x \neq 0$] se e solo se ν non è un intero. Se $\nu \in \mathbb{Z}$, risulta $J_{-\nu}(x) = (-1)^\nu J_\nu(x)$.

Per $\nu = n$ ($n = 0, 1, 2, \dots$) esiste una soluzione dell'equazione di Bessel linearmente indipendente della $J_n(x)$. Per trovarla definiamo la *funzione di Bessel di seconda specie*

$$Y_\nu(x) = \frac{J_\nu(x) \cos(\nu\pi) - J_{-\nu}(x)}{\sin(\nu\pi)}$$

per $\nu \notin \mathbb{Z}$. Siccome sia il numeratore che il denominatore sono funzioni analitiche di $\nu \in \mathbb{C}$ e $(d/d\nu) \sin(\nu\pi) = \pi \cos(\nu\pi) \neq 0$ per $\nu = 0, 1, 2, \dots$, il limite di $Y_\nu(x)$ per $\nu \rightarrow n \in \mathbb{N} \cup \{0\}$ esiste ed è uguale all'espressione

$$Y_n(x) = \frac{1}{\pi} \left[\frac{\partial J_\nu(x)}{\partial \nu} \right]_{\nu=n} - (-1)^n \left[\frac{\partial J_{-\nu}(x)}{\partial \nu} \right]_{\nu=n}.$$

Calcolando la derivata della serie di potenza per $J_\nu(x)$ rispetto a ν ed introducendo la funzione $\psi(z) = \Gamma'(z)/\Gamma(z)$ otteniamo per $x \geq 0$

$$\begin{aligned} Y_0(x) &= \frac{2}{\pi} \sum_{k=0}^{\infty} \frac{(-1)^k (z/2)^{2k}}{(k!)^2} \left[\log \frac{z}{2} - \psi(k+1) \right] \\ &= \frac{2}{\pi} J_0(x) \log \frac{x}{2} - \frac{2}{\pi} \sum_{k=0}^{\infty} \frac{(-1)^k (z/2)^{2k}}{(k!)^2} \psi(k+1), \\ Y_n(x) &= -\frac{1}{\pi} \sum_{k=0}^{n-1} \frac{(n-k-1)!}{k!} \left(\frac{z}{2} \right)^{2k-n} \\ &\quad + \frac{1}{\pi} \sum_{k=0}^{\infty} \frac{(-1)^k (z/2)^{n+2k}}{k!(n+k)!} \left[2 \log \frac{z}{2} - \psi(k+1) - \psi(k+n+1) \right] \\ &= \frac{2}{\pi} J_n(x) \log \frac{x}{2} - \frac{1}{\pi} \sum_{k=0}^{n-1} \frac{(n-k-1)!}{k!} \left(\frac{x}{2} \right)^{2k-n} \\ &\quad - \frac{1}{\pi} \sum_{k=0}^{\infty} \frac{(-1)^k (z/2)^{n+2k}}{k!(n+k)!} [\psi(k+1) + \psi(k+n+1)]. \end{aligned}$$

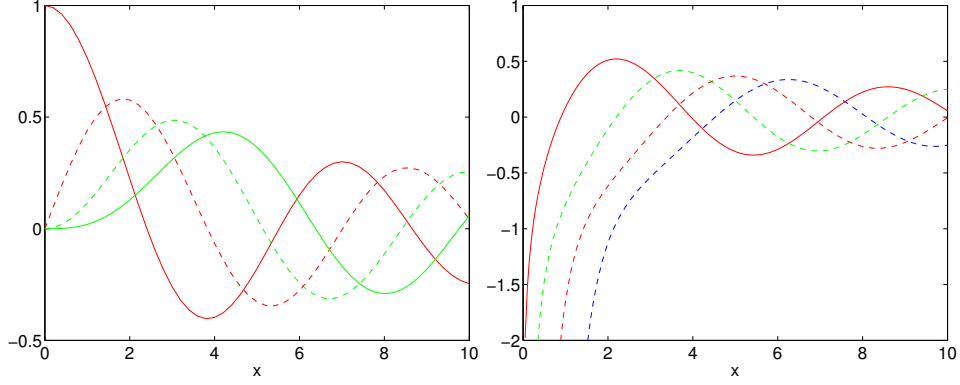


Figura II.1: Pannello sinistro: le funzioni di Bessel $J_\nu(x)$, $\nu = 0, 1, 2, 3$.
Pannello destro: le funzioni di Neumann $Y_\nu(x)$, $\nu = 0, 1, 2, 3$.

Quest'espressione conduce alle rappresentazioni asintotiche per $x \rightarrow 0^+$

$$Y_n(x) \sim \begin{cases} \frac{2}{\pi} \log \frac{x}{2}, & n = 0 \\ -\frac{(n-1)!}{\pi} \left(\frac{x}{2}\right)^{-n}, & n = 1, 2, \dots, \end{cases} \quad (\text{II.42})$$

implicando che $|Y_n(x)| \rightarrow +\infty$ se $x \rightarrow 0$.

Per ragioni di linearità le funzioni di Bessel di seconda specie soddisfano alle stesse formule di ricorrenza di quelle di prima specie. In particolare

$$Y'_\nu(x) = Y_{\nu-1}(x) - \frac{\nu}{x} Y_\nu(x) = -Y_{\nu+1}(x) + \frac{\nu}{x} Y_\nu(x);$$

$$\frac{d}{dx} [x^\nu Y_\nu(x)] = x^\nu Y_{\nu-1}(x), \quad \frac{d}{dx} [x^{-\nu} Y_\nu(x)] = -x^{-\nu} Y_{\nu+1}(x);$$

$$Y'_0(x) = -Y_1(x); \quad Y_{\nu+1}(x) - \frac{2\nu}{x} Y_\nu(x) + Y_{\nu-1}(x) = 0.$$

4.3 Ortogonalità e zeri

La seguente proposizione ci importa nei casi $\alpha = 1$ e $\beta = 0$ (cercando gli zeri) e $\alpha = 0$ e $\beta = 1$ (cercando i valori estremi).

Proposizione II.4 Per $\alpha, \beta \geq 0$ con $\alpha + \beta > 0$, siano μ_1 e μ_2 zeri reali dell'equazione

$$\alpha J_\nu(\mu) + \beta \mu J'_\nu(\mu) = 0, \quad (\text{II.43})$$

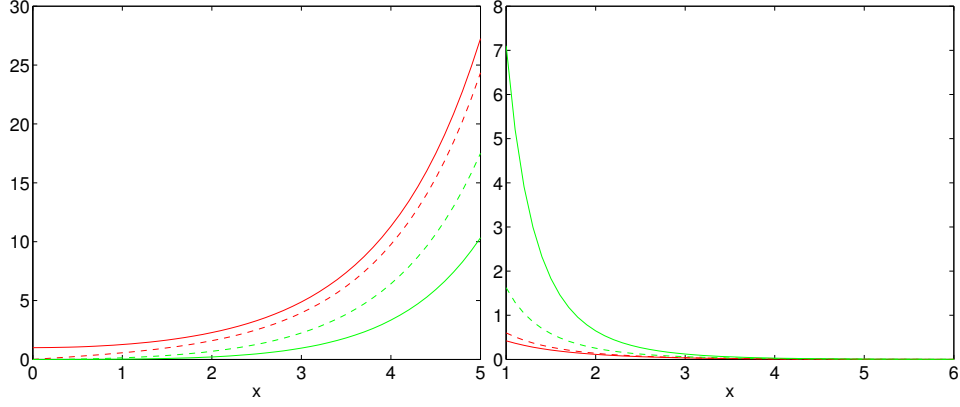


Figura II.2: Pannello sinistro: le funzioni di Bessel immaginarie $I_\nu(x)$ per $\nu = 0, 1, 2, 3$. Pannello destro: le funzioni di MacDonald $K_\nu(x)$ per $\nu = 0, 1, 2, 3$.

Le dimostrazioni delle formule asintotiche (II.52)-(II.56) si trovano nell'Appendice C. Analogamente, utilizzando la (II.39), si ottiene per $x \rightarrow 0^+$

$$\begin{cases} H_0^{(1)}(x) \approx -\frac{2i}{\pi} \ln \frac{1}{x}, & H_0^{(2)}(x) \approx \frac{2i}{\pi} \ln \frac{1}{x}, \\ Y_0(x) \approx -\frac{2}{\pi} \ln \frac{1}{x}, & K_0(x) \approx \ln \frac{1}{x}. \end{cases}$$

Calcoliamo ora

$$\begin{aligned} \frac{\pi}{2} (I_{-\nu}(z) - I_\nu(z)) &= \frac{\pi}{2} (e^{\nu\pi i/2} J_{-\nu}(iz) - e^{-\nu\pi i/2} J_\nu(iz)) \\ &= \frac{\pi}{2} e^{\nu\pi i/2} (J_{-\nu}(iz) - e^{-\nu\pi i} J_\nu(iz)) \\ &= \frac{\pi}{2} e^{\nu\pi i/2} (-[J_\nu(iz) \cos(\nu\pi) - J_{-\nu}(iz)] + i \sin(\nu\pi) J_\nu(iz)) \\ &= \frac{\pi}{2} e^{\nu\pi i/2} \sin(\nu\pi) (J_\nu(iz) + iY_\nu(iz)) \\ &= \frac{\pi i}{2} e^{\nu\pi i/2} H_\nu^{(1)}(iz) \sin(\nu\pi) = K_\nu(z) \sin(\nu\pi), \end{aligned}$$

implicando che⁵

$$K_\nu(z) = \frac{\pi}{2} \frac{I_{-\nu}(z) - I_\nu(z)}{\sin(\nu\pi)}.$$

⁵In [18, Sec. 17.71] la funzione di MacDonald $K_\nu(z)$ viene definita in modo diverso: $K_\nu(z) = \frac{\pi}{2} (I_{-\nu}(z) - I_\nu(z)) \cot(\nu\pi)$.

Per $\nu = n \in \mathbb{Z}$ bisogna calcolare il limite se $\nu \rightarrow n$.

Troviamo ora le equazioni differenziali per le funzioni $I_\nu(x)$ e $K_\nu(x)$. Sostituendo $x \mapsto ix$ nella (II.34), otteniamo l'equazione differenziale

$$\boxed{x^2 u'' + x u' - (x^2 + \nu^2) u = 0.} \quad (\text{II.57})$$

Dal Teorema II.5 segue che per $\nu > -1$ le funzioni di Bessel immaginarie $I_\nu(x)$ e le loro derivate prime non hanno zeri reali (con l'eccezione di $x = 0$ se $\nu > 0$).

4.5 Funzioni sferiche di Bessel

Le funzioni di Bessel $J_{\pm(l+\frac{1}{2})}(x)$, dove $l = 0, 1, 2, \dots$, appaiono nello studio dello scattering quantistico e dello scattering della luce. Per questo motivo vengono introdotte le seguenti funzioni:

$$j_l(z) = \sqrt{\frac{\pi}{2z}} J_{l+\frac{1}{2}}(z), \quad (\text{II.58})$$

$$y_l(z) = (-1)^{l+1} n_l(z) = \sqrt{\frac{\pi}{2z}} Y_{l+\frac{1}{2}}(z), \quad (\text{II.59})$$

$$h_l^{(1)}(z) = j_l(z) + i y_l(z) = \sqrt{\frac{\pi}{2z}} H_{l+\frac{1}{2}}^{(1)}(z), \quad (\text{II.60})$$

$$h_l^{(2)}(z) = j_l(z) - i y_l(z) = \sqrt{\frac{\pi}{2z}} H_{l+\frac{1}{2}}^{(2)}(z). \quad (\text{II.61})$$

Le funzioni $j_l(z)$, $y_l(z) = (-1)^{l+1} n_l(z)$ e $h_l^{(1,2)}(z)$ si dicono *funzioni sferiche di Bessel* di prima, seconda e terza specie. Quindi

$$\begin{aligned} j_0(z) &= \frac{\sin(z)}{z}, \\ j_1(z) &= \frac{\sin(z)}{z^2} - \frac{\cos(z)}{z}, \\ j_2(z) &= \left(\frac{3}{z^3} - \frac{1}{z} \right) \sin(z) - \frac{3}{z^2} \cos(z), \\ y_0(z) &= -n_0(z) = -\frac{\cos(z)}{z}, \\ y_1(z) &= n_1(z) = -\frac{\cos(z)}{z^2} - \frac{\sin(z)}{z}, \\ y_2(z) &= -n_2(z) = \left(-\frac{3}{z^3} + \frac{1}{z} \right) \cos(z) - \frac{3}{z^2} \sin(z). \end{aligned}$$

Si vede facilmente che

$$y_l(z) = (-1)^{l+1} n_l(z) = (-1)^{l+1} j_{-l-1}(z). \quad (\text{II.62})$$

Consideriamo ora le funzioni sferiche sulla sfera S^2 ($n = 3$). In coordinate sferiche abbiamo per $y_l(x) = r^l Y_l(\theta, \varphi)$

$$\frac{1}{\sin \varphi} \frac{\partial}{\partial \varphi} \left(\frac{1}{\sin \varphi} \frac{\partial Y_l}{\partial \varphi} \right) + \frac{1}{\sin^2 \varphi} \frac{\partial^2 Y_l}{\partial \theta^2} + l(l+1)Y_l(\theta, \varphi) = 0, \quad (\text{II.71})$$

dove $\theta \in [0, 2\pi]$, $\varphi \in [0, \pi]$ e $l = 0, 1, 2, \dots$. Cerchiamo le soluzioni della (II.71) in $C^\infty(S^2)$. Introduciamo prima $\xi = \cos \varphi$ e scriviamo (II.71) nella forma

$$\frac{1}{1-\xi^2} \frac{\partial^2 Y_l}{\partial \theta^2} + \frac{\partial}{\partial \xi} \left((1-\xi^2) \frac{\partial Y_l}{\partial \xi} \right) + l(l+1)Y_l(\theta, \xi) = 0. \quad (\text{II.72})$$

Applicando la separazione delle variabili

$$Y_l(\theta, \varphi) = \mathcal{P}(\xi)\Theta(\theta),$$

otteniamo

$$\Theta(\theta) = \begin{cases} \text{costante}, & m = 0 \\ c_1 \cos m\theta + c_2 \sin m\theta, & m = 1, 2, 3, \dots, \end{cases}$$

dove abbiamo sfruttato la periodicit  della $\Theta(\theta)$: $\Theta(\theta + 2\pi) \equiv \Theta(\theta)$. Dunque $\Theta''(\theta) = -m^2\Theta(\theta)$. Risulta l'equazione differenziale

$$\frac{d}{d\xi} \left((1-\xi^2) \frac{d\mathcal{P}}{d\xi} \right) + \left[l(l+1) - \frac{m^2}{1-\xi^2} \right] \mathcal{P}(\xi) = 0. \quad (\text{II.73})$$

Quest'equazione si pu  scrivere nella forma

$$-[(1-\xi^2)\mathcal{P}']' + \frac{m^2}{1-\xi^2}\mathcal{P} = l(l+1)\mathcal{P}.$$

Le soluzioni di quest'equazione nei punti ± 1 debbono assumere valori finiti.

5.2 Polinomi di Legendre

I polinomi di Legendre $P_l(\xi)$ si possono definire nei seguenti modi:

1. tramite la formula generatrice

$$\frac{1}{\sqrt{1-2\xi h+h^2}} = \sum_{l=0}^{\infty} P_l(\xi)h^l, \quad |h| < 1,$$

2. tramite l'equazione differenziale,

$$\boxed{-[(1-x^2)P_l']'(x) = l(l+1)P_l(x)}, \quad -1 < x < +1; \quad \boxed{P_l(1) = 1},$$

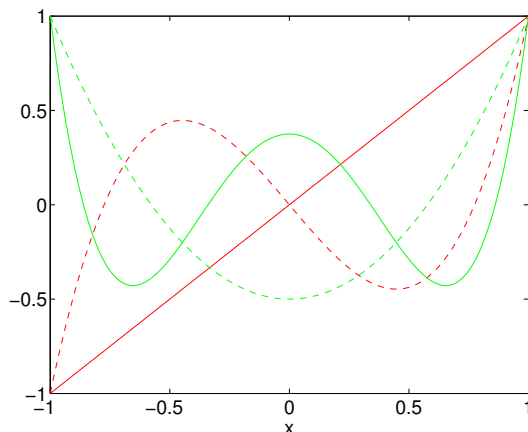


Figura II.3: I polinomi di Legendre di grado 1, 2, 3 e 4. Si osservi che il numero degli zeri è uguale al grado del polinomio.

3. tramite l'ortogonalità: $P_l(\xi)$ sono i polinomi in ξ di grado l con coefficiente principale positivo tali che

$$\int_{-1}^1 P_l(\xi)P_{l'}(\xi) d\xi = \delta_{ll'} \frac{2}{2l+1},$$

4. tramite la formula di Rodrigues

$$P_l(\xi) = \frac{1}{2^l l!} \left(\frac{d}{d\xi} \right)^l (\xi^2 - 1)^l,$$

5. tramite la formula di ricorrenza

$$(2l+1)\xi P_l(\xi) = (l+1)P_{l+1}(\xi) + lP_{l-1}(\xi), \quad P_0(\xi) = 1, \quad P_1(\xi) = \xi.$$

Noi dimostriamo l'equivalenza tra queste definizioni.

4 \Rightarrow **2**. Consideriamo l'equazione differenziale

$$-[(1-x^2)u']'(x) = \lambda u(x), \quad -1 < x < +1, \quad (\text{II.74})$$

sotto le condizioni iniziali che i limiti di $u(x)$ per $x \rightarrow \pm 1$ esistano finiti. Questo problema al contorno ha soluzioni polinomiali per $\lambda = l(l+1)$ dove $l = 0, 1, 2, \dots$. Verifichiamo se i polinomi

$$P_l(x) = \frac{1}{2^l l!} \left(\frac{d}{dx} \right)^l (x^2 - 1)^l, \quad l = 0, 1, 2, \dots, \quad (\text{II.75})$$

Allora $H_n(z)$ è un polinomio di grado n , ha il coefficiente principale positivo e soddisfa $H_n(-z) = (-1)^n H_n(z)$. Derivando l'equazione $w' + 2zw = 0$ (che ha la soluzione $w(z) \sim e^{-z^2}$) $n + 1$ volte e ponendo $u = w^{(n)}$ risulta

$$\boxed{u'' + 2zu' + 2(n+1)u = 0.}$$

Poi si sostituisca $u = e^{-z^2} v$. Infine risulta l'equazione (II.87) per $\nu = n$:

$$v'' - 2zv' + 2nv = 0. \quad (\text{II.90})$$

In altre parole, il polinomio di Hermite $H_n(z)$ soddisfa l'equazione differenziale di Hermite (II.90). La (II.89) si dice formula di Rodriguez.

Scriviamo ora la (II.87) nella forma

$$(e^{-z^2} v')' = -2n e^{-z^2} v.$$

Allora

$$2(n-m)H_n(z)H_m(z)e^{-z^2} = (e^{-z^2} H'_m)' H_n(z) - (e^{-z^2} H'_n)' H_m(z).$$

Calcolando l'integrale rispetto a z si ottiene

$$\begin{aligned} 2(n-m) \int_{-\infty}^{\infty} H_n(z)H_m(z)e^{-z^2} dz &= \left[e^{-z^2} (H'_m(z)H_n(z) - H'_n(z)H_m(z)) \right]_{z=-\infty}^{\infty} \\ &- \int_{-\infty}^{\infty} \left(e^{-z^2} H'_m(z)H'_n(z) - e^{-z^2} H'_n(z)H'_m(z) \right) dz = 0. \end{aligned}$$

Quindi i polinomi di Hermite formano un sistema ortogonale nello spazio di Hilbert $L^2(\mathbb{R}; e^{-z^2} dz)$. Per calcolare la costante di normalizzazione si applichino la formula di Rodriguez (II.89) e n integrazioni per parti, risultando nella seguente successione di passaggi:

$$\begin{aligned} \int_{-\infty}^{\infty} H_n(z)^2 e^{-z^2} dz &= \sum_{j=1}^n (-1)^{n-j+1} \left[H_n^{(j-1)}(z) \left(\frac{d}{dz} \right)^{n-j} \{e^{-z^2}\} \right]_{z=-\infty}^{\infty} \\ &+ \int_{-\infty}^{\infty} \left(\left(\frac{d}{dz} \right)^n H_n(z) \right) e^{-z^2} dz \\ &= \underbrace{\left[p(z)e^{-z^2} \right]_{z=-\infty}^{\infty}}_{=0} + c_n n! \int_{-\infty}^{\infty} e^{-z^2} dz = c_n n! \sqrt{\pi}, \end{aligned}$$

dove $p(z)$ è un polinomio e c_n è il coefficiente principale di $H_n(z)$ (cioè, $H_n(z) = c_n z^n + \dots$). Calcoliamo ora i coefficienti c_n . Derivando la formula di Rodriguez (II.89) si arriva all'identità

$$\boxed{H'_n(z) = 2zH_n(z) - H_{n+1}(z).} \quad (\text{II.91})$$

Confrontando i coefficienti di z^{n+1} nella (II.91) otteniamo $0 = 2c_n - c_{n+1}$, mentre $c_0 = 1$. Quindi $c_n = 2^n$. Infine si arriva alla seguente formula di ortogonalità:

$$\int_{-\infty}^{\infty} H_n(z)H_m(z)e^{-z^2} dz = 2^n(n!)\sqrt{\pi} \delta_{n,m}, \quad (\text{II.92})$$

dove $\delta_{n,m}$ è la delta di Kronecker.

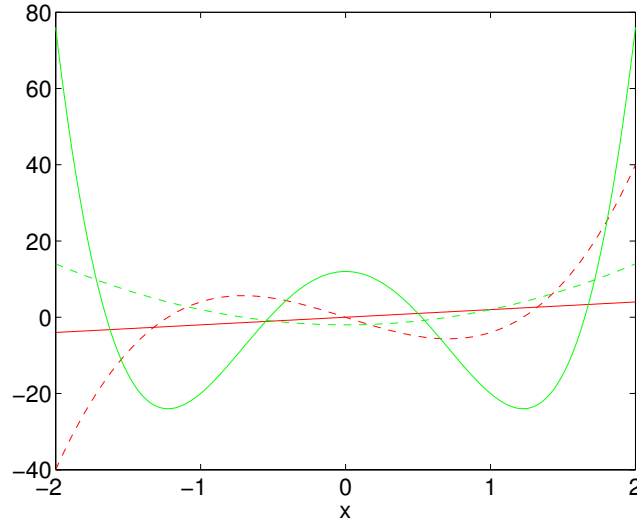


Figura II.4: I polinomi di Hermite di grado 1, 2, 3 e 4. Osserviamo che il numero degli zeri è uguale al grado del polinomio.

Derivando la (II.90) rispetto a z e scrivendo il risultato come un'equazione differenziale per v' si ottiene

$$(v')'' - 2z(v')' + 2(n-1)(v') = 0.$$

Dunque $H'_n(z)$ e $H_{n-1}(z)$ sono soluzioni della stessa equazione differenziale che ha soltanto una singola soluzione polinomiale linearmente indipendente. Di conseguenza, $H'_n(z) = \text{cost.}H_{n-1}(z)$. Siccome $H_n(z) = 2^n z^n + \dots$ e $H_{n-1}(z) = 2^{n-1} z^{n-1} + \dots$, risulta $n 2^n = \text{cost.}2^{n-1}$ e quindi $\text{cost.} = 2n$. In altre parole,

$$H'_n(z) = 2n H_{n-1}(z). \quad (\text{II.93})$$

Dalle equazioni (II.91) e (II.93) arriviamo alla formula di ricorrenza

$$2zH_n(z) = H_{n+1}(z) + 2nH_{n-1}(z), \quad (\text{II.94})$$

dove $H_0(z) = 1$ e $H_1(z) = 2z$.

dove abbiamo utilizzato $x^{\alpha+1} \rightarrow 0$ per $x \rightarrow 0^+$. Quindi per $\alpha > -1$ i polinomi di Laguerre $\{L_n^{(\alpha)}(x)\}_{n=0}^{\infty}$ costituiscono un sistema ortogonale nello spazio di Hilbert $L^2(\mathbb{R}^+; x^\alpha e^{-x} dx)$.

Per calcolare la costante di normalizzazione facciamo i seguenti passaggi:

$$\begin{aligned}
\int_0^\infty L_n^{(\alpha)}(x)^2 x^\alpha e^{-x} dx &= \frac{1}{(n!)^2} \int_0^\infty L_n^{(\alpha)}(x) \left(\frac{d}{dx}\right)^n \{x^{n+\alpha} e^{-x}\} dx \\
&= \left[\frac{1}{(n!)^2} \sum_{j=1}^n (-1)^{j-1} (L_n^{(\alpha)})^{(j-1)}(x) \left(\frac{d}{dx}\right)^{n-j} \{x^{n+\alpha} e^{-x}\} \right]_{x=0}^\infty \\
&+ \frac{(-1)^n}{(n!)^2} \int_0^\infty \left(\left(\frac{d}{dx}\right)^n L_n^{(\alpha)}(x) \right) x^{n+\alpha} e^{-x} dx \\
&= \left[\frac{1}{(n!)^2} \sum_{j=1}^n (-1)^{j-1} (L_n^{(\alpha)})^{(j-1)}(x) x^{\alpha+j} e^{-x} L_{n-j}^{(\alpha+j)}(x) \right]_{x=0}^\infty \\
&+ \frac{(-1)^n}{(n!)^2} \left(\left(\frac{d}{dx}\right)^n L_n^{(\alpha)}(x) \right) \int_0^\infty x^{n+\alpha} e^{-x} dx = \frac{\Gamma(n + \alpha + 1)}{n!},
\end{aligned}$$

dove abbiamo fatto n integrazioni per parti, utilizzato la (II.98) con $\alpha + j$ al posto di α , applicato l'espressione $L_n^{(\alpha)}(x) = (-1)^n (x^n/n!) + \dots$ e l'identità (A.1). In altre parole,

$$\boxed{\int_0^\infty L_n^{(\alpha)}(x) L_m^{(\alpha)}(x) x^\alpha e^{-x} dx = \frac{\Gamma(n + \alpha + 1)}{n!} \delta_{n,m}}, \quad (\text{II.104})$$

dove $\delta_{n,m}$ è la delta di Kronecker.

Derivando la (II.100) si ottiene la seguente equazione differenziale:

$$x(v')'' + (\alpha + 2 - x)(v')' + (n - 1)(v') = 0.$$

Quindi $L_n^{(\alpha)'}(x)$ è proporzionale a $L_{n-1}^{(\alpha+1)}(x)$. Siccome

$$L_n^{(\alpha)'}(x) = \frac{(-1)^n x^{n-1}}{(n-1)!} + \dots, \quad L_{n-1}^{(\alpha+1)}(x) = \frac{(-1)^{n-1} x^{n-1}}{(n-1)!} + \dots,$$

risulta per $\alpha > -1$

$$L_n^{(\alpha)'}(x) = -L_{n-1}^{(\alpha+1)}(x). \quad (\text{II.105})$$

L'ortogonalità di $L_n^{(\alpha)}(x)$ a tutti i polinomi di grado minore di n nello spazio di Hilbert $L^2(\mathbb{R}^+; x^\alpha e^{-x} dx)$ conduce all'identità

$$xL_n^{(\alpha)}(x) = A_n^{(\alpha)} L_{n+1}^{(\alpha)}(x) + B_n^{(\alpha)} L_n^{(\alpha)}(x) + C_n^{(\alpha)} L_{n-1}^{(\alpha)}(x), \quad (\text{II.106})$$

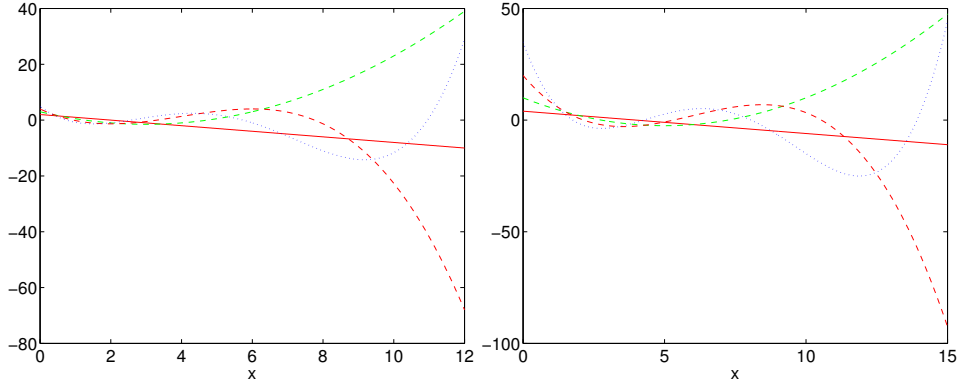


Figura II.5: I polinomi di Laguerre di grado 1, 2, 3 e 4 per $\alpha = 1$ (panello sinistro) e $\alpha = 3$ (panello destro). Osserviamo che il numero degli zeri è uguale al grado del polinomio.

dove $n = 1, 2, 3, \dots$ e A_n, B_n e C_n sono opportune costanti da determinare. Calcoliamo ora il seguente integrale:

$$\begin{aligned}
C_n^{(\alpha)} &= \int_0^\infty x L_n^{(\alpha)}(x) L_{n+1}^{(\alpha)}(x) x^\alpha e^{-x} dx \\
&= \frac{1}{(n+1)!} \int_0^\infty x L_n^{(\alpha)}(x) \left(\frac{d}{dx} \right)^{n+1} \{x^{n+1+\alpha} e^{-x}\} dx \\
&= \left[\frac{1}{(n+1)!} \sum_{j=1}^{n+1} (-1)^{j-1} (x L_n^{(\alpha)})^{(j-1)}(x) \left(\frac{d}{dx} \right)^{n+1-j} \{x^{n+1+\alpha} e^{-x}\} \right]_{x=0}^\infty \\
&\quad + \frac{(-1)^{n+1}}{(n+1)!} \int_0^\infty \left(\left(\frac{d}{dx} \right)^{n+1} \{x L_n^{(\alpha)}(x)\} \right) x^{n+1+\alpha} e^{-x} dx \\
&= \left[\frac{(-1)^n}{(n+1)!} \sum_{j=1}^{n+1} (x L_n^{(\alpha)})^{(j-1)}(x) (n+1-j)! x^{\alpha+j} e^{-x} L_{n+1-j}^{(\alpha+j)}(x) \right]_{x=0}^\infty \\
&\quad + \frac{(-1)^{n+1}}{(n+1)!} \left(\left(\frac{d}{dx} \right)^{n+1} \{x L_n^{(\alpha)}(x)\} \right) \int_0^\infty x^{n+1+\alpha} e^{-x} dx \\
&= -\frac{\Gamma(n+\alpha+2)}{n!},
\end{aligned}$$

dove abbiamo utilizzato $x L_n^{(\alpha)}(x) = (-1)^n (x^{n+1}/n!) + \dots$. Poi calcoliamo l'integrale:

$$D_n^{(\alpha)} = \int_0^\infty x L_n^{(\alpha)}(x)^2 x^\alpha e^{-x} dx$$

La formula di ricorrenza è facile da verificare:

$$\begin{aligned}
 T_{n+1}(x) + T_{n-1}(x) &= \cos((n+1)t) + \cos((n-1)t) \\
 &= 2 \cos(t) \cos(nt) = 2xT_n(x), \\
 U_{n+1}(x) + U_{n-1}(x) &= \frac{\sin((n+2)t)}{\sin(t)} + \frac{\sin(nt)}{\sin(t)} \\
 &= \frac{2 \cos(t) \sin((n+1)t)}{\sin(t)} = 2xU_n(x).
 \end{aligned}$$

Si vede subito che $-1 \leq T_n(x) \leq +1$ per $x \in [-1, 1]$, mentre $T_n(x) = 2^{n-1}x^n + \dots$ e $U_n(x) = 2^n x^n + \dots$ per $n \in \mathbb{N}$.

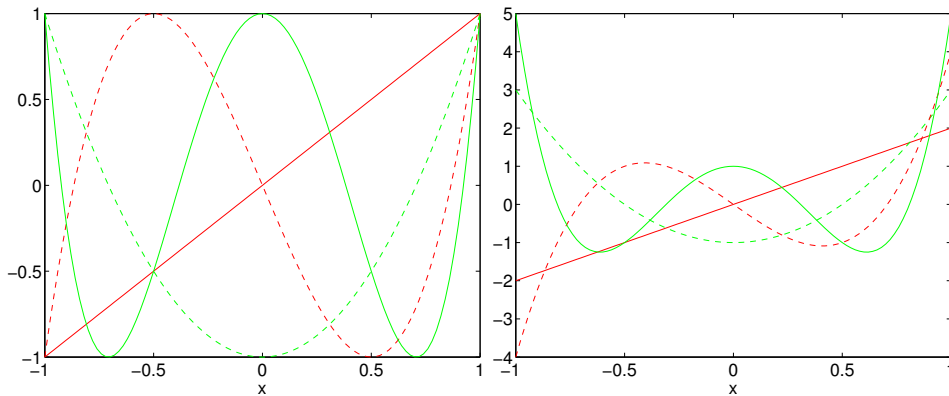


Figura II.6: I polinomi di Chebyshev di prima e seconda specie di grado 1, 2, 3 e 4. Nel pannello sinistro si trovano i grafici dei polinomi di Chebyshev di prima specie e nel pannello destro quelli di seconda specie. Osserviamo che il numero degli zeri è uguale al grado del polinomio. Inoltre, i polinomi di Chebyshev di prima specie hanno ± 1 come i loro valori estremi.

Sono verificate le relazioni di ortogonalità

$$\begin{aligned}
 \int_0^\pi \cos(nt) \cos(mt) dt &= \frac{\pi}{2} (1 + \delta_{n,0}) \delta_{n,m}, \\
 \int_0^\pi \sin((n+1)t) \sin((m+1)t) dt &= \frac{\pi}{2} \delta_{n,m}.
 \end{aligned}$$

Sostituendo $x = \cos(t)$ otteniamo

$$\boxed{\int_{-1}^1 T_n(x) T_m(x) \frac{dx}{\sqrt{1-x^2}} = \frac{\pi}{2} (1 + \delta_{n,0}) \delta_{n,m}} \quad (\text{II.115})$$

$$\boxed{\int_{-1}^1 U_n(x)U_m(x)\sqrt{1-x^2} dx = \frac{\pi}{2}\delta_{n,m}.} \quad (\text{II.116})$$

Quindi $\{T_n(x)\}_{n=0}^\infty$ sono i polinomi ortogonali su $[-1, 1]$ con peso $(1-x^2)^{-1/2}$ e $\{U_n(x)\}_{n=0}^\infty$ sono i polinomi ortogonali su $[-1, 1]$ con peso $(1-x^2)^{1/2}$, tranne per fattori costanti.

Le funzioni $\cos(nt)$ e $\sin(nt)$ soddisfano all'equazione differenziale $u''(t) + n^2u(t) = 0$. Sostituendo $x = \cos(t)$ e utilizzando le definizioni per $T_n(x)$ e $U_n(x)$ otteniamo

$$\boxed{\begin{cases} (1-x^2)T_n''(x) - xT_n'(x) + n^2T_n(x) = 0, \\ (1-x^2)U_n''(x) - 3xU_n'(x) + n^2U_n(x) = 0. \end{cases}}$$

In forma Sturm-Liouville abbiamo

$$\boxed{\begin{cases} \frac{d}{dx}((1-x^2)^{1/2}T_n'(x)) = -n^2 \frac{T_n(x)}{\sqrt{1-x^2}}, \\ \frac{d}{dx}((1-x^2)^{3/2}U_n'(x)) = -n^2 \sqrt{1-x^2} U_n(x). \end{cases}}$$

9 Polinomi Ortogonali Generali

Sia I un intervallo della retta reale e w una funzione positiva quasi ovunque su I tale che $\int_I |x|^{2n}w(x) dx < \infty$ ($n = 0, 1, 2, \dots$). Allora i polinomi sono tutti elementi dello spazio di Hilbert $L^2(I; w dx)$. Infatti, i polinomi costituiscono un sottospazio lineare denso in $L^2(I; w dx)$, un fatto che non dimostriamo. Applicando il processo di Gram-Schmidt al sistema $\{\psi_n\}_{n=0}^\infty$ dove $\psi_n(x) = x^n$, si ottengono i polinomi ortogonali $\{p_n\}_{n=0}^\infty$ rispetto al peso w , dove il grado di p_n è uguale ad n e i coefficienti principali sono tutti positivi. Data una funzione $f \in L^2(I; w dx)$ e definendo i coefficienti

$$c_n = \int_I f(x)p_n(x)w(x) dx, \quad n = 0, 1, 2, \dots,$$

otteniamo l'identità di Parseval

$$\int_I |f(x)|^2 w(x) dx = \sum_{n=0}^{\infty} |c_n|^2$$

e lo sviluppo

$$f(x) = \sum_{n=0}^{\infty} c_n p_n(x)$$

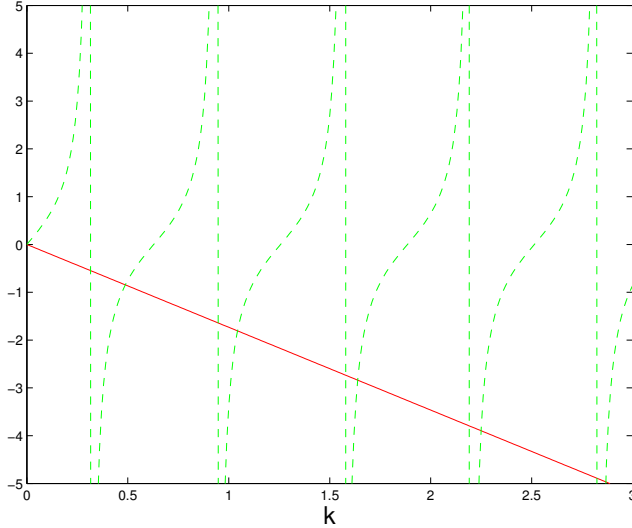


Figura IV.1: Il plot contiene i grafici delle funzioni $y = \tan(xL)$ e $y = -k \tan \alpha$ per $L = 5$ e $\alpha = \frac{\pi}{3}$. Gli autovalori sono i valori di $k > 0$ corrispondenti ai loro punti di intersezione.

con la condizione che $\lambda = 0$ non sia un autovalore dell'operatore L è equivalente all'equazione integrale

$$u(x) = \lambda \int_0^\ell \mathcal{G}(x, y)u(y) dy + \int_0^\ell \mathcal{G}(x, y)f(y) dy, \quad u \in L^2(0, \ell), \quad (\text{IV.18})$$

dove $\mathcal{G}(x, y)$ è la funzione di Green dell'operatore L . Inoltre, le soluzioni u dei problemi equivalenti (IV.17) e (IV.18) appartengono ad \mathcal{M}_L .

Dimostrazione. Se $u(x)$ è una soluzione del problema al contorno (IV.17), allora

$$u(x) = (G[\lambda u + f])(x) = \int_0^\ell \mathcal{G}(x, y)[\lambda u(y) + f(y)] dy, \quad 0 \leq x \leq \ell,$$

cioè $u(x)$ soddisfa l'equazione integrale (IV.18).

Inversamente, supponiamo che la funzione $u_0 \in L^2(0, \ell)$ soddisfi l'equazione integrale (IV.18). Se G denota l'operatore integrale con nucleo $\mathcal{G}(x, y)$, allora $u_0 = G(\lambda u_0 + f) \in D(\bar{L})$ e $\bar{L}u_0 = \lambda u_0 + f$. Dall'uguaglianza

$$u_0(x) = - \frac{v_1(x) \int_x^\ell v_2(y)[\lambda u_0(y) + f(y)] dy + v_2(x) \int_0^x v_1(y)[\lambda u_0(y) + f(y)] dy}{p(0)w(0)}$$

segue che $u_0 \in C[0, \ell]$, poichè le funzioni sotto il segno degli integrali appartengono ad $L^1(0, \ell)$. In tal caso segue dall'equazione precedente che $u_0 \in C^1[0, \ell]$ con derivata

$$u_0'(x) = - \frac{v_1'(x) \int_x^\ell v_2(y)[\lambda u_0(y) + f(y)] dy + v_2'(x) \int_0^x v_1(y)[\lambda u_0(y) + f(y)] dy}{p(0)w(0)}.$$

Da quell'ultima equazione segue che $u_0 \in C^2[0, \ell]$. Inoltre, dalla (IV.6) segue che $u_0(x)$ soddisfa le condizioni al contorno (IV.2). Dunque $u_0 \in \mathcal{M}_L$. Di conseguenza, $Lu_0 = \bar{L}u_0 = \lambda u_0 + f$. \square

Applicando il teorema precedente al caso $f = 0$, concludiamo che ogni autofunzione dell'operatore L (in principio appartenente a $D(\bar{L})$) appartiene ad \mathcal{M}_L . Inoltre, tutte le autofunzioni appartengono a $C[0, \ell]$. Quindi il problema al contorno per $f = 0$ (cioè, il problema agli autovalori) è equivalente a quello agli autovalori dell'equazione integrale omogenea

$$u(x) = \lambda \int_0^\ell \mathcal{G}(x, y)u(y) dy \quad (\text{IV.19})$$

in $C[0, \ell]$ oppure in $L^2(0, \ell)$, a condizione che $\lambda = 0$ non sia autovalore dell'operatore L .

Eliminiamo ora l'ipotesi che $\lambda = 0$ non sia un autovalore dell'operatore L . Per farlo, sia $\mu_0 \in \mathbb{R}$ un numero che non è un autovalore. Allora $\mu = 0$ non è un autovalore del problema di Sturm-Liouville

$$L_1 u \equiv -(pu')' + (q - \mu_0)u = \mu u, \quad (\text{IV.20})$$

$$h_1 u(0) - h_2 u'(0) = 0, \quad H_1 u(\ell) + H_2 u'(\ell) = 0. \quad (\text{IV.21})$$

Ma $\mathcal{M}_L = \mathcal{M}_{L_1}$ e $D(\bar{L}) = D(\bar{L}_1)$. Quindi il problema di Sturm-Liouville (IV.1)-(IV.2) è equivalente all'equazione integrale

$$u(x) = (\lambda - \mu_0) \int_0^\ell \mathcal{G}_1(x, y)u(y) dy, \quad (\text{IV.22})$$

dove $\mathcal{G}_1(x, y)$ è la funzione di Green dell'operatore L_1 .

1.3 Proprietà degli autovalori e delle autofunzioni

Abbiamo dunque stabilito l'equivalenza tra il problema di Sturm-Liouville omogeneo ed il problema agli autovalori per l'equazione integrale omogenea